

РОССИЙСКАЯ АКАДЕМИЯ НАУК  
СИБИРСКОЕ ОТДЕЛЕНИЕ

А В Т О М Е Т Р И Я

---

№ 4

2000

УДК 535.241

А. И. Кондратьев, Ю. М. Криницын, С. А. Гусаков  
(Хабаровск)

ЛАЗЕРНЫЕ ИНТЕРФЕРОМЕТРЫ  
ДЛЯ ИЗМЕРЕНИЯ УЛЬТРАЗВУКОВЫХ КОЛЕБАНИЙ

Предложены и исследованы два метода стабилизации чувствительности лазерных интерферометров. Результаты эксперимента хорошо согласуются с численными расчетами, что позволяет использовать эти методы в измерительной технике.

Необходимость проведения высокоточных абсолютных измерений колебаний поверхности оставляет актуальной проблему совершенствования оптических, и в частности лазерных, методов измерения. Известно, что порог чувствительности и погрешность интерференционных лазерных устройств определяются нестабильностью частоты и мощности лазерного излучения, шумом регистрирующей аппаратуры и вредными акустическими вибрациями.

В работе [1] описаны методы и средства снижения отрицательного влияния мешающих факторов на результаты измерений. Наиболее эффективными и простыми в реализации оказались следующие методы: а) выравнивание плеч интерферометра для снижения частотных шумов лазера; б) компенсационный прием для уменьшения влияния кратковременных (характерный период менее 1 мин) флюктуаций мощности лазерного излучения; в) отрицательная обратная связь для стабилизации базы интерферометра.

В комплексе эти методы позволяют снизить порог чувствительности до  $3 \cdot 10^{-14}$  м/Гц $^{1/2}$  (теоретический порог чувствительности, определяемый дробовыми шумами фотоприемника, составляет  $1,6 \cdot 10^{-14}$  м/Гц $^{1/2}$ ) и уменьшить погрешности измерений до единиц процентов. Дальнейшее улучшение метрологических характеристик сдерживается влиянием долговременной нестабильности мощности излучения современных лазеров, достигающей 10 % и более. Методы стабилизации мощности лазерного излучения сложны, кроме того, они приводят к снижению интенсивности светового потока и как следствие к уменьшению чувствительности [2]. В диапазоне частот выше 20 кГц нестабильность, с одной стороны, приводит к нестабильности чувствительности интерферометра, а с другой (при включенной системе стабилизации базы) – к «ухуду» интерферометра с рабочей точки и возникновению систематических погрешностей при измерении смещений поверхности [1].

Рассмотрим два способа измерения колебаний поверхности, позволяющие обойти описанные трудности. Оба способа основаны на постоянном контроле фактических изменений интенсивности излучения и позволяют проводить прецизионные измерения при использовании стандартных лазеров типа ЛГ-122 или ЛГ-79 [3, 4].

При реализации первого способа в качестве опорного сигнала используется уровень интенсивности оптического излучения источника (рис. 1, а). Интерферометр содержит лазер 1 в качестве источника излучения, светоизделие 3, отражающие зеркала измерительного плеча 2 и опорного плеча 4. Часть излучения лазера 1 посредством светоизделия 5 отводится на фотоприемник 6, который вырабатывает электрический сигнал, пропорциональный интенсивности излучения лазера, подаваемый далее на один из входов дифференциального усилителя 10. При этом сигнал с дополнительного фотоприемника 6 не зависит от оптической фазы интерферометра. На второй вход усилителя 10 подается сигнал с фотоприемника 9, величина которого пропорциональна интенсивности интерферирующих лучей в отраженном свете. При этом изменение оптической фазы интерферометра (относительные перемещения поверхности образца 2 и опорного зеркала 4) вследствие действия акустических шумов приводит к изменению сигнала фотоприемника 9 на величину, пропорциональную расстройке оптической фазы интерферометра, что приводит к появлению сигнала, поступающего на

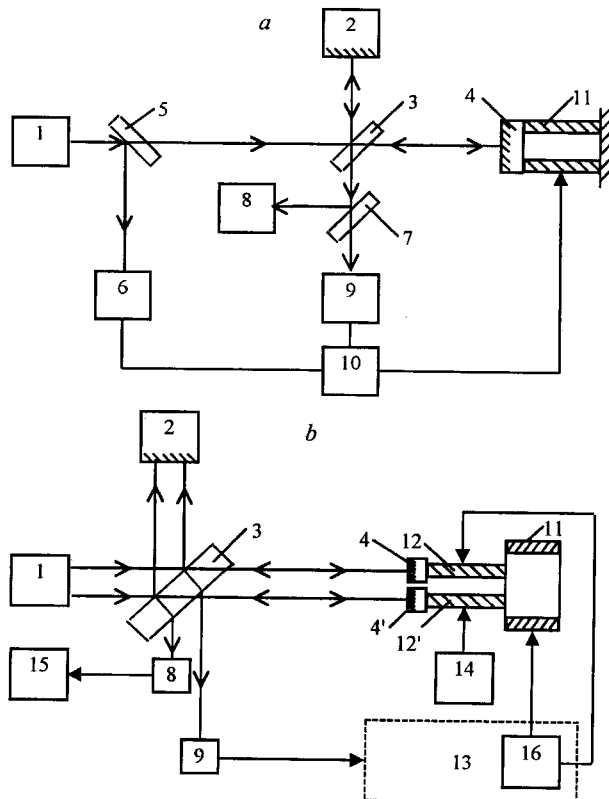


Рис. 1. Блок-схема лазерных измерителей колебаний: а – первый способ; б – второй способ

исполнительный элемент 11 (пьезопривод) и компенсирующего акустические шумы. Часть интерферирующего излучения отводится светоделительной пластиной 7 на фотоприемник 8, сигнал которого фиксируется блоком регистрации 15. Полезный сигнал и сигнал «акустического шума», как отмечено выше, разделены по частотам, причем цепь обратной связи (фотоприемник 9, усилитель 10, пьезопривод 11) работает в области частот ниже  $f_{rp} \approx 1$  кГц. Изменение интенсивности излучения лазера 1 приводит к одновременному и синфазному изменению сигналов с фотоприемников 6 и 9. Вследствие большого подавления синфазных сигналов дифференциальным усилителем 10 сигнал на исполнительном элементе 11 не изменяется. При этом изменение интенсивности излучения лазера 1 не приводит к изменению оптической фазы интерферометра.

По второму способу в процессе измерений производится периодический контроль размаха интерференционной картины и подстройка рабочей точки интерферометра (рис. 1, б). В этом варианте для повышения точности измерения используется принцип модуляции интерференционной картины.

Установка работает следующим образом. Расширенный до необходимого диаметра луч лазера 1 направляется на светоделитель 3, где расщепляется на два луча, один из которых отражается от объекта 2, а другой – от зеркал 4 и 4'. Луч, отраженный от зеркала 4', и луч, отраженный от поверхности объекта 2, образуют первую интерференционную картину, которая проецируется на фотоприемник 8. Другой луч, отраженный от зеркала 4 и поверхности объекта 2, образует вторую интерференционную картину, которая проецируется на фотоприемник 9, подключенный к системе отрицательной обратной связи 13, выполненной в виде экстремального регулятора. При подаче на пьезопривод 11 синусоидального напряжения от генератора 16 частотой  $\omega_0$  происходит модуляция интенсивности второй интерференционной картины и на выходе фотоприемника 9рабатывается синусоидальный электрический сигнал, частота и фаза которого зависят от фазы интерференционной картины. Если фаза интерференционной картины равна  $2m\pi$ , то частота электрического сигнала фотоприемника 9 равна  $2\omega_0$ . Если фаза интерференционной картины не равна  $2m\pi$ , то в сигнале присутствует составляющая с частотой  $\omega_0$ . Фаза этой составляющей относительно фазы опорной частоты генератора 16 определяется знаком отклонения фазы интерференционной картины от точки  $\phi_0 = 2m\pi$ . Система отрицательной обратной связи 13 выделяет из сигнала фотоприемника 9 сигнал с частотой  $\omega_0$ , сравнивает фазу этого сигнала с фазой опорного сигнала и вырабатывает управляющий сигнал, который поступает на пьезопривод 11 для подстройки фазы в точке  $\phi_0 = 2m\pi$ . Информативным каналом в обоих устройствах является цепь – фотоприемник 8, блок регистрации 15. Таким образом происходит жесткая стабилизация фазы второй интерференционной картины независимо от мощности  $I$  лазерного излучения на входе в интерферометр. Фаза первой интерференционной картины жестко связана с фазой второй картины, но может плавно регулироваться относительно нее регулируемым напряжением источника 14. Перед проведением измерений смещений поверхности образца 2 посредством пьезопривода 12 проводится определение размаха интерференционной картины и затем с помощью пьезопривода 12' и источника 14 настройка измерительного канала на рабочую точку.

Экспериментальные исследования параметров интерферометров проводились на установке, показанной на рис. 2. Излучение Не–Не-лазера 1 через электрооптический модулятор 2 поступает в интерферометр 3, одним из зер-

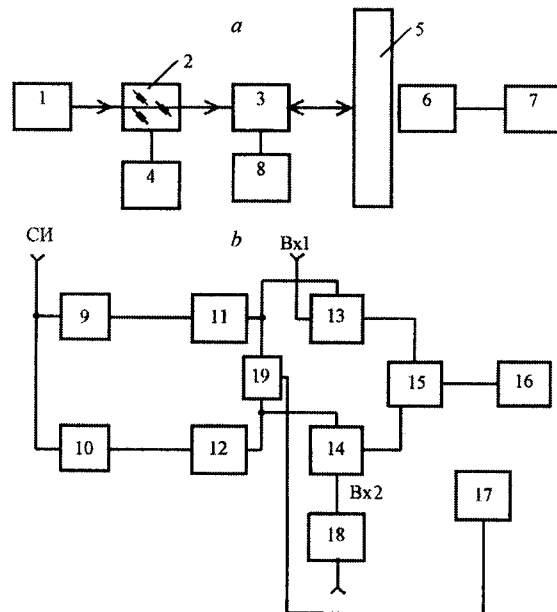


Рис. 2. Блок-схема экспериментальной установки

кала которого является поверхность образца 5. Ультразвуковые колебания в образце 5 возбуждаются емкостным преобразователем или пьезопреобразователем 6, электрически связанным с генератором 7. На модулятор 2 с блока питания 4 подается пилообразное напряжение амплитудой до 400 В. В качестве генератора 7 используется либо генератор прямоугольных импульсов, собранный на длинных линиях, либо генератор радиоимпульсов. Блок возбуждения (преобразователь 6, генератор 7) позволяет генерировать УЗ-импульсы в диапазоне частот 0,1–20 МГц (диапазон длительностей 100 нс – 10 мкс) амплитудой до  $5 \cdot 10^{-8}$  м [1]. Сигнал с интерферометра 3 поступает в блок регистрации 8. Структурная схема блока регистрации 8 приведена на рис. 2, б.

Работа блока регистрации основана на запоминании мгновенных значений амплитуды ультразвукового импульса и опорного сигнала с последующим вычислением по методу двойного интегрирования их отношения. Суть метода двойного интегрирования заключается в определении отношения двух напряжений ( $U_{\text{изм}}/U_{\text{оп}}$ ) по отношению числа тактов интегрирования опорного канала к числу тактов интегрирования измерительного канала ( $N_{\text{оп}}/N_{\text{изм}}$ ). Причем  $N_{\text{оп}}$  определяется по моменту обнуления сигнала сумматора блока 8 [5]. В качестве опорного сигнала выбирается амплитуда возбуждающего электрического импульса генератора 7.

Исследуемый и опорный (через аттенюатор 18) сигналы подаются на входы 1, 2 устройств выборки-хранения (УВХ) 13, 14 соответственно. УВХ устанавливают на своих выходах напряжения, равные мгновенным значениям входных напряжений в моменты прихода запускающих импульсов с одновибраторов 11, 12 [6]. Запуск одновибраторов задерживается относительно входного синхроимпульса (СИ), поступающего с генератора 7 (рис. 2, а) на регулируемые ключами 9, 10 времена  $\tau_1$  и  $\tau_2$ . Сигналы с выхода УВХ поступают на вход усилителя 15, работающего по методу двойного интегрирования. Результаты измерения отношений отображаются на цифровом индика-

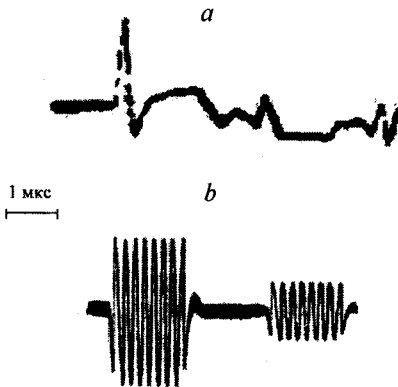


Рис. 3. Осциллограммы переотраженных ультразвуковых импульсов: а – режим видеоимпульса; б – режим радиоимпульса

торе 16. Схема совпадения 19 вырабатывает метки времени, обеспечивающие необходимые задержки выборок относительно синхроимпульсов. Наблюдение переотраженных в образце ультразвуковых импульсов и меток времени осуществляется осциллографом 17. Чувствительность схемы к относительным изменениям сигналов на входах 1 или 2 не хуже 0,01 дБ. Перед началом экспериментов аттенюатор 18 настраивался таким образом, чтобы отношение сигналов при проведении измерений по второму способу при  $\Delta I_0 = 0$  и  $u_0 = 1 \cdot 10^{-10}$  м составляло  $1,00 \pm 0,01$  (при этом амплитуда опорного сигнала принята равной  $A_0$ ). В дальнейшем эксперименты для первого способа проводились при неизменной настройке аттенюатора и тех же значениях амплитуды генератора 7 (см. рис. 2, а). За меру качества работы интерферометра принято отношение амплитуды преобразованного сигнала  $u_0$  к амплитуде входного сигнала  $A_0$ .

Характерные осциллограммы переотраженных ультразвуковых импульсов показаны на рис. 3. Результаты обработки экспериментальных данных приведены на рис. 4.

В соответствии с рис. 4, а (второй способ) при  $u_0 < 1 \cdot 10^{-8}$  м сигнал на выходе интерферометра при измерении в пределах 1 % пропорционален  $u_0$ . При  $u_0 > 1 \cdot 10^{-8}$  м и погрешности измерений менее 1 % необходимо проводить вычисление значений смещений по формуле

$$u(t) = \frac{\lambda}{4\pi} \arcsin \left( \frac{\delta i(t)}{K_1 I} \right).$$

Для первого способа сигнал на выходе интерферометра пропорционален интенсивности лазерного излучения, причем при  $u_0 < 1 \cdot 10^{-8}$  коэффициент пропорциональности практически не зависит от  $I$  (рис. 4, б). Для обеспечения погрешности измерений по первому способу менее 1–2 % необходима организация отрицательной обратной связи, компенсирующей изменение интенсивности  $I$ .

Среднеквадратическая ошибка измерений в обоих экспериментах во всем исследуемом диапазоне изменения  $u_0$  не превышала  $0,02u_0/(N)^{1/2}$ , где  $N$  – число измерений.

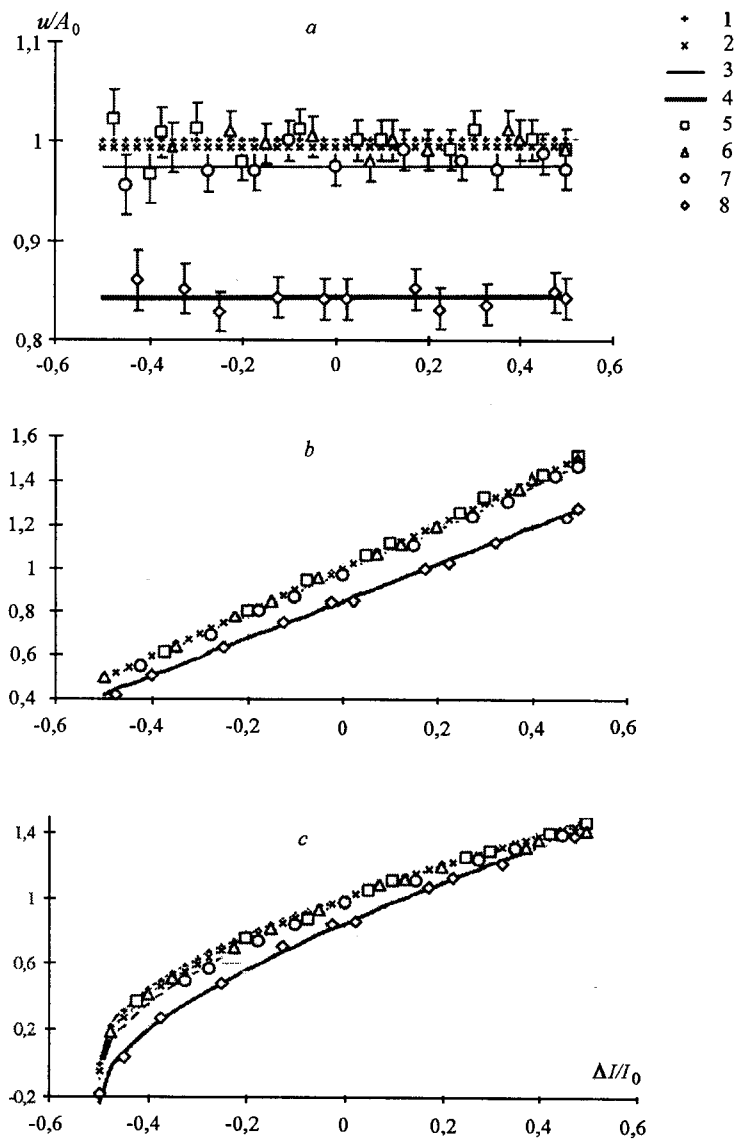


Рис. 4. Результаты измерения характеристик интерферометров: *a* – второй способ; *b* – первый способ; *c* – метод стабилизации базы: 1, 5 – зависимость выходного сигнала интерферометра от  $\Delta I$  при  $u = 1 \cdot 10^{-10}$  м; 2, 6 – при  $u = 1 \cdot 10^{-8}$  м; 3, 7 – при  $u = 2 \cdot 10^{-8}$  м; 4, 8 – при  $u = 5 \cdot 10^{-8}$  м; кривые 1–4 – расчет

Для сопоставления приведенных результатов с данными, полученными традиционным методом стабилизации базы, подробно описанным в работе [1], проведены аналогичные измерения. Полученные результаты представлены на рис. 4, *c*. На рисунке видно, что в этом случае в соответствии с приведенным выражением характер зависимости сигнала на выходе интерферометра от  $I$  при всех  $u$  нелинейный. При уменьшении интенсивности ( $\Delta I < 0$ ) может происходить изменение фазы сигнала на противоположную.

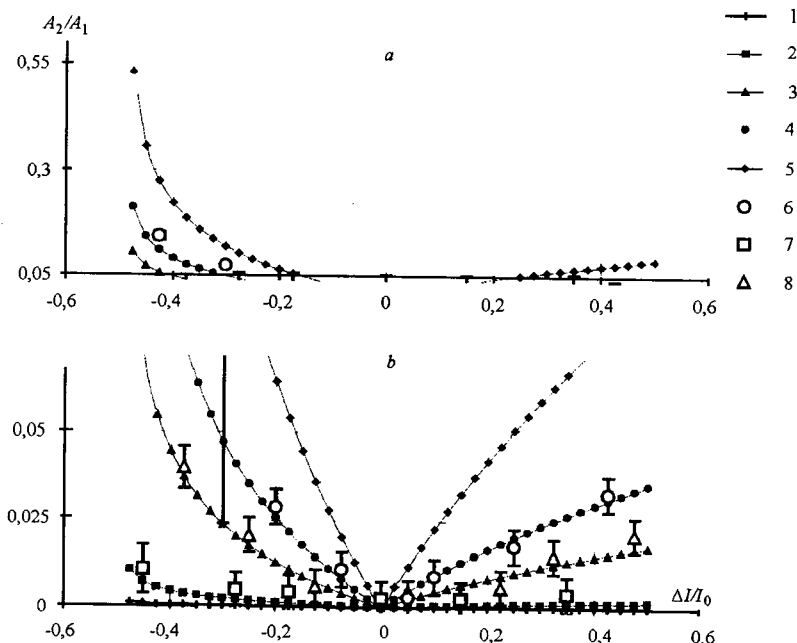


Рис. 5. Нелинейные искажения сигнала для метода стабилизации базы: кривая 1 – зависимость отношения  $A_2/A_1$  от  $\Delta I$  при  $u = 1 \cdot 10^{-10}$  м; 2, 7 – при  $u = 1 \cdot 10^{-9}$  м; 3, 8 – при  $u = 1 \cdot 10^{-8}$  м; 4, 6 – при  $u = 2 \cdot 10^{-8}$  м; 5 – при  $u = 5 \cdot 10^{-8}$  м; кривые 1–5 – расчет

Расчетные кривые (1–4), полученные по этой формуле при соответствующих  $\Delta I$ ,  $A_0$  и  $u$ , в пределах погрешностей совпадают с экспериментом.

Для второго и первого способов во всем исследованном диапазоне изменения  $u$  и  $I$  появления второй гармоники по уровню, превышающему ее уровень, во входном сигнале не обнаружено. Для метода стабилизации базы величина второй гармоники в зависимости от  $\Delta I$ , и  $u$  достигает 50 % от амплитуды основной гармоники (рис. 5, а, б).

Проведенные измерения показали, что при изменении интенсивности излучения до 50 % от первоначального уровня суммарная погрешность определения смещений в УЗ-импульсе для второго способа при величине смещений в диапазоне  $(0,5 \cdot 10^{-10} – 2 \cdot 10^{-8})$  м не превышает  $0,05 \cdot 10^{-10}$  м. Оба рассматриваемых способа обеспечивают измерения с наименьшими нелинейными искажениями сигнала.

#### СПИСОК ЛИТЕРАТУРЫ

- Бондаренко А. Н., Дробот Ю. Б., Кондратьев А. И. Прецизионные акустические измерения оптическими и емкостными методами. Владивосток: ТОИ ДВО АН СССР, 1990.
- Короневич В. П., Ханов В. А. Современные лазерные интерферометры. Новосибирск: Наука, 1985.
- А. с. 1315793 СССР. Способ измерения колебаний объекта и устройство для его осуществления /А. Н. Бондаренко, А. И. Кондратьев, С. А. Гусаков. Опубл. 1987, Бюл. № 21.

4. А. с. 1415072 СССР. Интерференционный способ измерения малых ультразвуковых сигналов и интерференционное устройство для его осуществления /А. И. Кондратьев, С. А. Гусаков. Опубл. 1988, Бюл. № 29.
5. Титц У., Шенк К. Полупроводниковая схемотехника. М.: Мир, 1982.
6. Шкарупин В. В., Донец В. Е., Тетерина Н. И. Широкополосное устройство выборки-хранения для анализа высокоскоростных процессов // ПТЭ. 1991. № 2. С. 103.

*Дальневосточный государственный университет  
путей сообщения,  
E-mail: kondr@dv.khv.ru*

*Поступило в редакцию  
1 февраля 1999 г.*

---

---

**Реклама продукции в нашем журнале – залог Вашего успеха!**